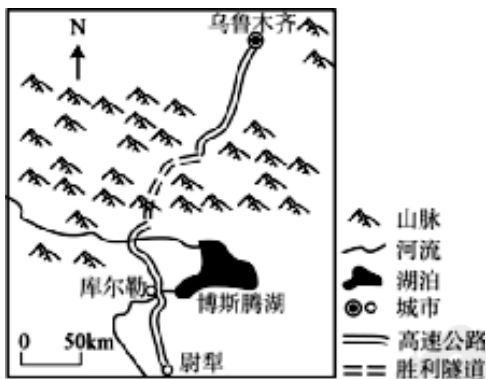


2023

48

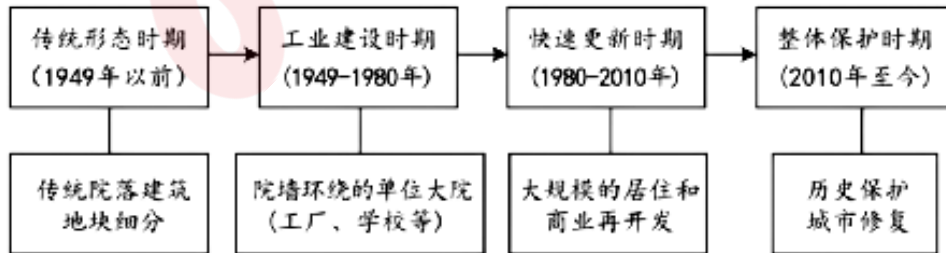
3 16 48

2025年12月26日，乌鲁木齐至尉犁高速公路（图1）全线通车，极大地重塑了新疆的时空格局。22.13公里长的天山胜利隧道是世界最长的高速公路隧道，也是乌尉高速公路的“咽喉工程”，在隧道建设中创新性采用“三洞并行”方案（图2）施工，多工作面同步掘进，实现“长隧短打”。据此完成下面小题。



- 1 “ ”
- A B  
C D
- 2
- A B  
C D

南京是我国历史文化名城，其城南历史城区是明清南京城主要的市民生活区，面积约6.9km<sup>2</sup>，保存了数量众多的历史遗存。有研究提出，该城区经历了四个典型发展时期，期间城区地块数量、路网结构、功能区划和建筑风格发生了显著变化。下图示意南京城南历史城区演化过程。完成下面小题。



- 3
- A B C D
- 4

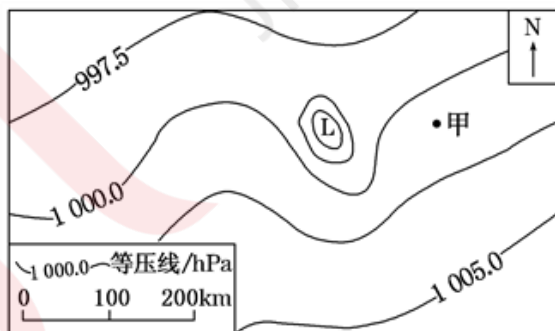
- A. 城市职能减少  
B. 商业活动减弱  
C. 建筑类型减少  
D. 街道密度降低
5. 近年来，该历史城区不断收紧建筑限高的规定主要是为了
- A. 提高土地利用效率  
B. 改善人居环境  
C. 协调城市建筑景观  
D. 扩大城市容量

2024年12月11日，全球单体容量最大的漂浮式风电机组“明阳天成号”并网发电。该风电机组位于我国南海北部，近端距离海岸70km，场址面积约147.3km<sup>2</sup>，水深在47~52m之间。年发电量超过40亿kW·h。同时风电企业、电网公司创新性地构建“风火打捆”（即风电和火电以一定比例结合共同发电）“风电+储能”等多能互补协同的并网方式，助力新型电力系统建设。下图为“明阳天成号”照片。据此完成下面小题。



6. 与同规模的近岸海洋风电机组相比，“明阳天成号”风电机组的优势有
- ①输电成本低 ②受航道影响小 ③建设成本低 ④受养殖业影响小
- A. ①②  
B. ①③  
C. ②④  
D. ③④
7. 风电企业、电网公司创新性地构建“风火打捆”“风电+储能”等多能互补协同的并网方式，主要是为了
- A. 减少弃风现象  
B. 降低发电成本  
C. 增加风能比重  
D. 开拓民用市场

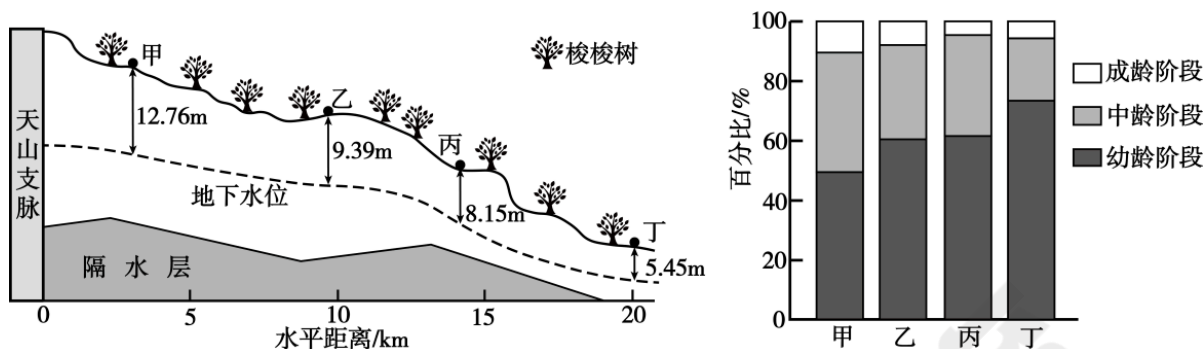
下图示意我国某地区14日6时的气压形势，L为低压。图中天气系统以200 km/天的速度东移。据此完成下列小题。



8. 图中甲地14日6—9时的风向为
- A. 偏东风  
B. 偏南风  
C. 东北风  
D. 西北风
9. 气象部门发布了暴雨预报，甲地暴雨开始的时间约为
- A. 14日14时  
B. 14日19时  
C. 15日4时  
D. 15日11时
10. 该地区及图示气压形势出现的月份可能为
- A. 华北平原，3、4月份  
B. 四川盆地，1、2月份  
C. 黄土高原，10、11月份  
D. 东南丘陵，4、5月份

在干旱区，地下水通过毛细作用上升，成为植被根区土壤水分的主要补给。精河县位于准

噶尔盆地荒漠绿洲过渡带，盐碱化程度较低。当地梭梭树多出现树龄大但矮小的“小老树”现象。左图示意精河县部分区域的地下水埋深，右图示意该地四处梭梭种群的年龄结构。据此完成下面小题。



11. 该地盐碱化程度较低的自然原因是
- A. 地表蒸发较弱                      B. 地下水埋藏深
- C. 植被覆盖率高                      D. 土壤含水量少
12. 该地梭梭树
- A. 甲地成熟植株最多                      B. 乙地种群密度最大
- C. 丙地高龄植株最少                      D. 丁地种群更新最快
13. “小老树”现象多出现在
- A. 甲地                      B. 乙地                      C. 丙地                      D. 丁地

在西伯利亚北部山地与北冰洋之间的平坦低地上，冻土层十分深厚，冻土中很难见到一块小石子，腐殖质多，含水量高达70%以上。夏季，一些地方冻土融化造成地表塌陷，形成了大小不一的“热喀斯特湖”。这里的河流极易游移改道，大多数情况下这些湖泊是孤立的水域，仅少数时间可能成为河流水系的一部分。据此完成下列小题。

14. 北西伯利亚低地冻土融化后地表极易塌陷，主要是因为这里的冻土层
- A. 非常深厚                      B. 含水量大                      C. 腐殖质多                      D. 出露于地表
15. 当地孤立的“热喀斯特湖”成为河流水系的时间常见于
- A. 12~次年2月                      B. 3~5月                      C. 6~8月                      D. 9~11月
16. 北西伯利亚河流极易游移改道，主要是因为河流
- ①流量季变大                      ②落差大                      ③含沙量大                      ④河床浅
- A. ①②                      B. ②③                      C. ③④                      D. ①④

## 第II卷（非选择题，共52分）

二、非选择题（共3小题，共52分）

17. 阅读图文材料，完成下列要求。（16分）

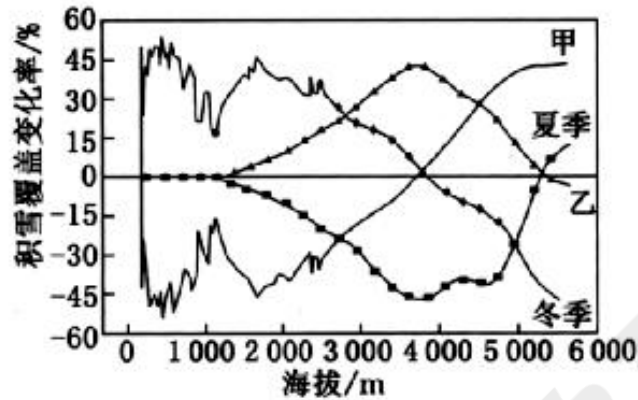
葡萄喜光，耐旱。下图为某坡度较大的地方采用顺坡垄方式种植葡萄的景观。该地位于52°N附近，气候湿润。



- (1) 当地采用顺坡垄种植葡萄，据此分析该地区的降水特点。（6分）
- (2) 指出该地种植葡萄宜选择的坡向，并分析与梯田相比，顺坡垄利用光照的优势。（6分）
- (3) 说明温带半干旱地区坡地耕作不宜采用顺坡垄的理由。（4分）

## 18. 阅读图文材料,完成下列要求。(18分)

天山各高程不同季节积雪情况不同。用积雪面积除以总面积可得到各高程四个季节的积雪覆盖率,将各季节与前一个季节的积雪覆盖率相减可得到积雪覆盖变化率,以此表示各季节的积雪变化情况。下图示意天山不同季节积雪覆盖变化率与高程的关系。



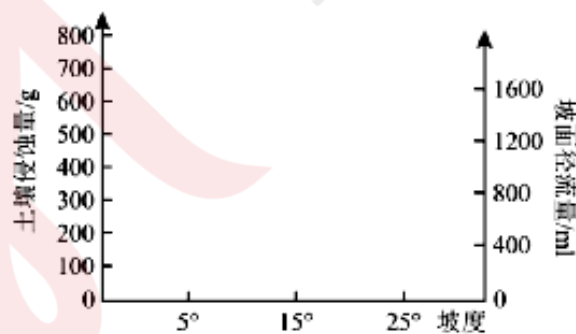
- (1) 分别指出甲、乙曲线所代表的季节。(2分)
- (2) 据图说出冬季积雪覆盖变化率为负值的地区,并推测原因。(4分)
- (3) 夏季天山积雪覆盖面积的变化在不同高程范围内有不同的表现。指出夏季积雪覆盖面积减少的高程范围,并分别分析天山不同高程范围夏季积雪覆盖面积变化的原因。(8分)
- (4) 全球气候变暖会使天山冰雪覆盖面积减少,试分析原因。(4分)

## 19. 阅读材料，完成下列要求。(18分)

水土流失严重影响生态环境质量和土地资源可持续利用，而坡度作为关键影响因素之一，其作用机制备受关注。某中学地理实验小组进行了水土流失模拟实验，实验报告如下表所示。

实验名称	坡度与水土流失关系探究实验
实验目的	探究不同坡度对水土流失的影响规律
实验材料	相同土槽3个(分别标记为A、B、C)，等量土壤3份，降雨装置3个，集水桶3个，滤网3个，量杯3个，电子秤，坡度仪等
实验步骤	<p>步骤1: 将3个土槽分别放置在5°、15°、25°的支架上，分别将等量的土壤均匀填入3个土槽中；</p> <p>步骤2: 在每个土槽上方相同高度处安装降雨装置，调节降雨强度至每小时10毫米，持续降雨30分钟。在土槽下方分别放置集水桶；</p> <p>步骤3: 降雨过程中，观察并记录每个集水桶中开始集水的时间和土壤表面侵蚀情况；</p> <p>步骤4: _____</p>
实验结果	<p>集水桶沙量: A槽150克, B槽450克, C槽800克;</p> <p>集水桶水量: A槽500毫升, B槽900毫升, C槽1500毫升</p>
实验分析	质地相同的3份土壤样品，在相同时间和降雨强度下，坡度不同，具有不同的水土流失量。因此，可根据A、B、C集水桶中的沙量和水量，推测不同坡度的水土流失情况
实验结论	_____

(1)根据实验结果，绘制土壤侵蚀量和坡面径流量随坡度变化的折线图，并说出其整体变化趋势。(6分)



(2)补齐上表中步骤4和实验结论。(6分)

(3)说出一种可有效减小坡度对水土流失影响的方法，并说明其原理。(6分)